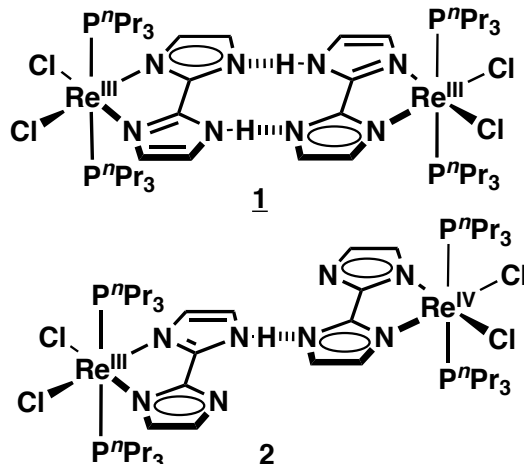


Re^{III}Re^{IV}混合原子価状態を持つ水素結合型ダイマー錯体

(東理大理¹, 阪市大院理², 福工大工³)

○磯谷和臣¹, 宮里裕二¹, 市村彰男², 中筋一弘³, 田所 誠¹

【序】生体中の電子伝達系タンパクにおいて、電子移動を伴った水素結合部位では強く水素結合したプロトンの移動障壁が非常に低いため、スムーズな電子移動に関与していると考えられている。我々は強く水素結合した混合原子価状態をもつ遷移金属錯体が、外圈型の電子移動反応を通して電子移動した場合に、同時にプロトン移動も連動させたプロトン-電子連動現象(PCET)を起こすものと考えている。通常の金属錯体では溶液中で外圈型の電子移動は起こすものの、そのプロトン移動障壁が高いためプロトン移動が関与できない。そこで、プロトン移動障壁の低い水素結合をもつビイミダゾレート水素結合型金属錯体[Re^{III}Cl₂(PⁿPr₃)₂(Hbim)]₂ (1) の合成を行った。このビイミダゾレート配位子は2座キレート配位することができ、配位結合と水素結合を同時に作ることができる。電気化学的にプロトンの移動方向を制御できるため分子素子としての機能性を期待できる。本研究では等価な Re^{III}/Re^{III}で構成された1と Re^{III}/Re^{IV}の混合原子価状態をもち、1つの水素結合で連結した水素結合型錯体[Re^{III}Cl₂(PⁿPr₃)₂(Hbim)][Re^{IV}Cl₂(PⁿPr₃)₂(bim)] (2) の合成に成功したので、その性質も合わせて報告を行う。



【実験】水素結合型ダイマー錯体1と2の合成は、まず、原料である ReOCl₃(PPh₃)₂ を NH₄ReO₄ から合成し、続いて前駆体となる [Re^{III}Cl₂(PPh₃)₂(H₂bim)]Cl のモノマー錯体を合成した。さらに、

[Re^{III}Cl₂(PPh₃)₂(H₂bim)]Cl を PⁿPr₃との配位子置換反応によって、プロトン化された前駆体 [Re^{III}Cl₂(PⁿPr₃)₂(H₂bim)]Cl を合成した。これを MeOH に溶解させアンモニアを拡散させることで1を得た。2の合成は [Re^{III}Cl₂(PⁿPr₃)₂(H₂bim)]Cl を濃硝酸に分散させて得られた紫色粉末を MeOH 中で NH₃ を拡散させることで得られた。

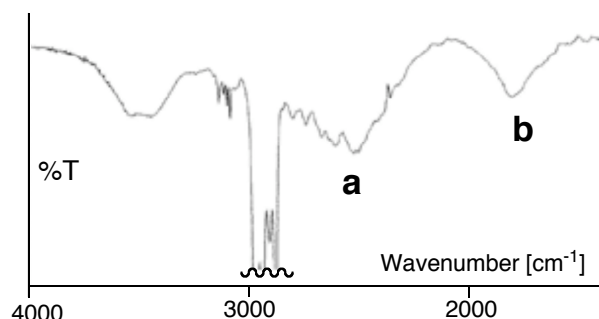


図1 2のIRスペクトル(KBr disk法)
a: NH stretching, b: NH overtone bending

【結果と考察】錯体1と2は両方とも図1に示したように結晶では強い水素結合をもつ(2.738(4) Åと2.763(5) Å)が、2つの水素結合をもつ1のaとbのピークとも大きくなっていることが分かった。2はビイミダゾレートの相補的な水素結合を作らずに、1つのN-H···N水素結合を通じて分子間水素結合(2.763(5) Å)している。錯体1と2のCH₂Cl₂中でのCVスペクトルを図2に示す。1はRe^{II}Re^{II}/Re^{II}Re^{III}(E⁴_{1/2}=-1.89 V)、Re^{II}Re^{III}/Re^{III}Re^{III}(E³_{1/2}=-1.65 V)、Re^{III}Re^{III}/Re^{III}Re^{IV}(E²_{1/2}=-0.22 V)、Re^{III}Re^{IV}/Re^{IV}Re^{IV}(E¹_{1/2}=0.06 V)の可逆な4電子移動反応が見られる。これに対して2は1と同じ位置に見られる可逆なピークが観測される他、水素結合していないRe^{IV}価のモノマーに関するRe^{II}/Re^{III}(E⁴_{1/2}=-2.12 V)Re^{III}/Re^{IV}(E¹_{1/2}=-0.68 V)の2つの新しいピークが現れた。すなわち、CH₂Cl₂中で2は解離してRe^{III}Re^{III}のダイマー型錯体1と脱プロトン化されたRe^{IV}モノマー錯体がそれぞれ1:2の割合で存在している溶液になった。これは1が2点で相補的な強い水素結合を形成しているのでCH₂Cl₂

中で安定な分子間水素結合を保つのに対して、2は1つの水素結合のため解離するであろう。

2の結晶学的なデータは3, Z = 2, T = -120 °C, R₁ = 2.20 %, wR₂ = 5.80 %, GOF = 0.81である。この錯体2のもつ1つの分子間水素結合のプロトンはディスオーダーをしていた。そのため、プロトン移動を媒体としたRe^{III} ⇌ Re^{IV}の電子移動が起こるかどうか交流インピーダンス測定(バイアスをかけた電場変調)を2の単結晶について行ってみた。図3に伝導によるCole-Coleプロットおよび図4に誘電率による表示を示した。このデータについては現在検討中である。誘電率測定では東京理科大学理学部化学科古川研究室にお世話になったので感謝いたします。

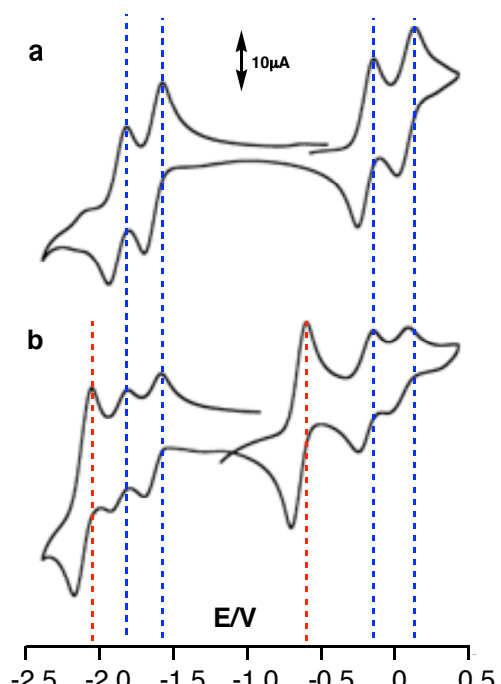


図2 1(a)および2(b)のCVスペクトル
(In CH₂Cl₂, 100 mV/s, 0.1 M ⁿBu₄NPF₆, WE: GC, CE: Pt, RE: Ag/Ag⁺)

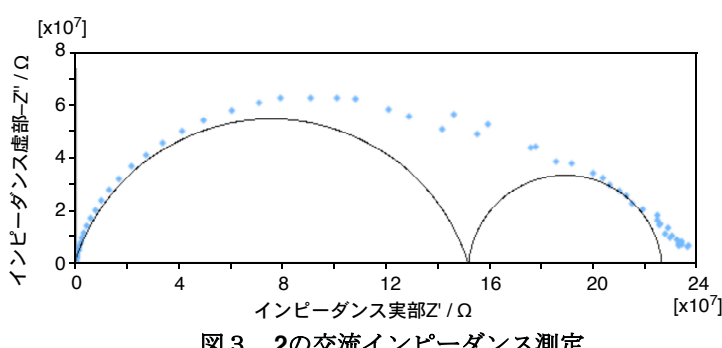


図3 2の交流インピーダンス測定

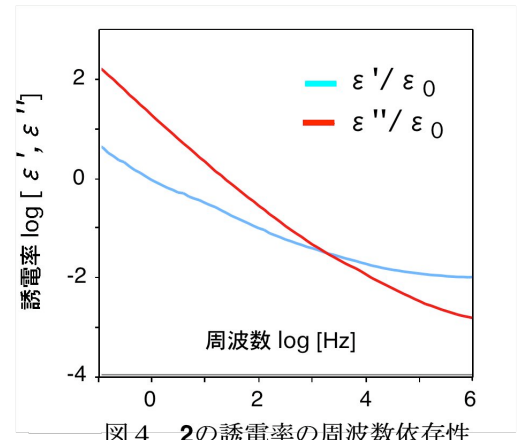


図4 2の誘電率の周波数依存性